

1.2 構造部材の形と力学的な考察



- ・構造物、構造部材の形は力学的に決まるもの
- ・構造力学 + 構造材料 = 構造物の形状と構造部材の断面形状

Eiffel Tower (1889)



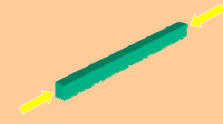
構造部材に作用する力

Types of Forces in Structural Components

引張 Tension



圧縮 Compression



作用する力は複雑
支配的な力に対して部材耐力を決める。これが断面設計

構造部材に作用する力

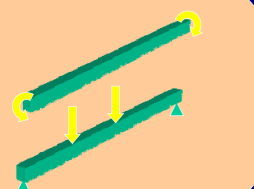
Types of Forces in Structural Components

引張 Tension

Or 圧縮 Compression



曲げ Bending



構造部材に作用する力

Types of Forces in Structural Components

ねじれ Torsion



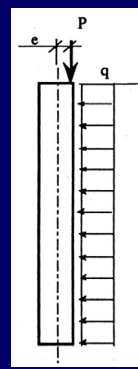
せん断 Shear



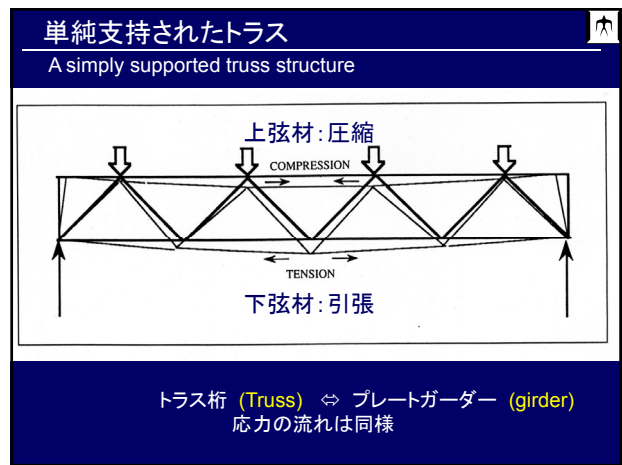
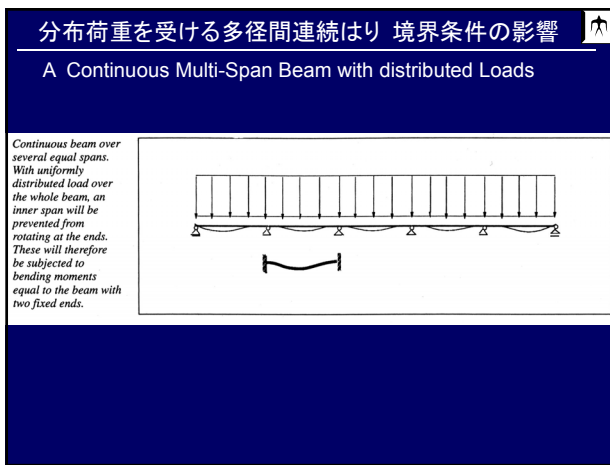
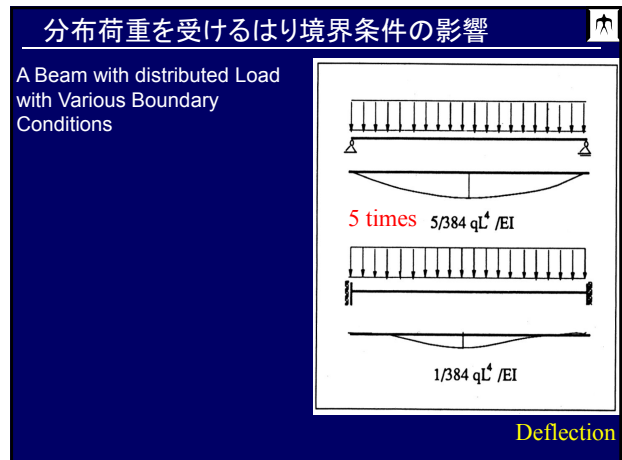
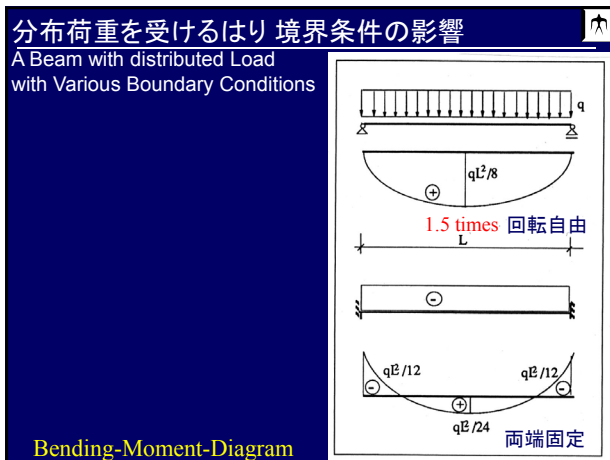
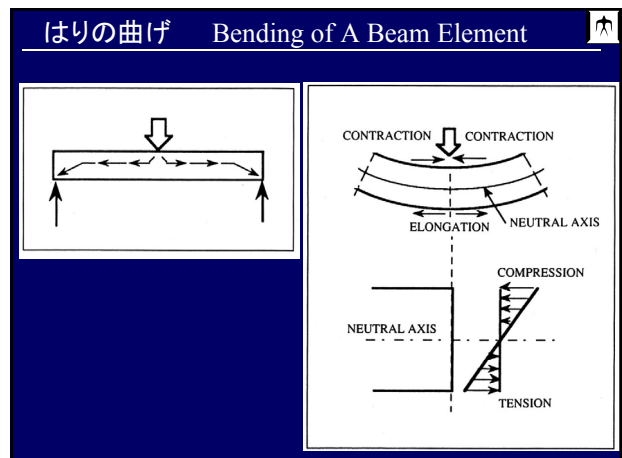
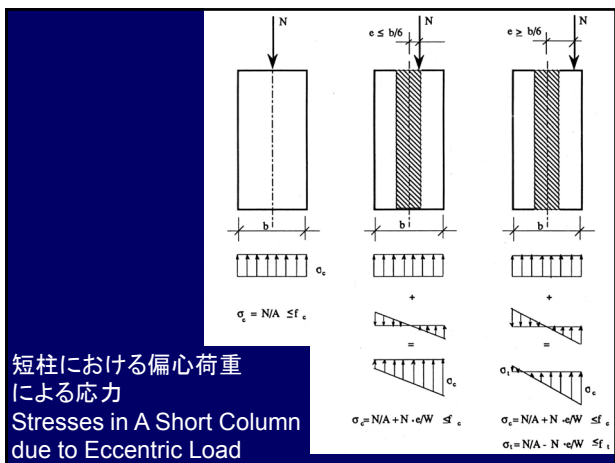
引張 or 圧縮 + 曲げ + せん断 + ねじれ

柱部材における偏心荷重

A Column with Eccentric Load



Concentric Load Eccentric Load Eccentric Load + Bending



Leonardo da Vinciによるはり耐力の考え方

Perpendicular cross sections of the beam will also be perpendicular after the beam is bent.

力学的に形状が決定される構造例(1)

Determination of Shapes of Structural Components Based on Mechanics

Eiffel Tower (1889) Tokyo Tower

力学的に形状が決定される構造例(1)

Determination of Shapes of Structural Components Based on Mechanics

$A(x) = A_0 = \text{const.}$

$\sigma(x) = \sigma_0 + wx$

$A(x) = A_0 \exp\left(\frac{w}{\sigma_0} x\right)$

$\sigma(x) = \sigma_0 = \text{const.}$

上載荷重P
+自重

Tokyo Tower

力学的に形状が決定される構造例(3)

Determination of Shapes of Structural Components Based on Mechanics

アーチ構造, ドーム構造
石造で長スパンを考えると
アーチになる

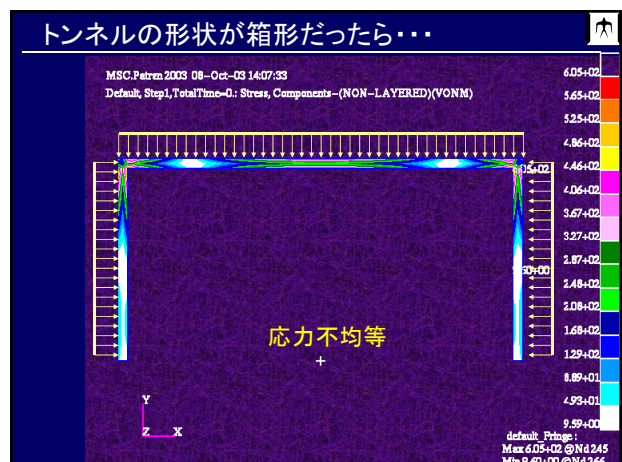
通潤橋(1854)

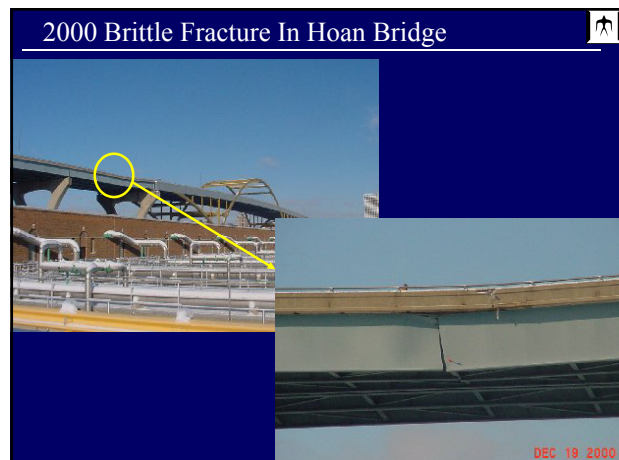
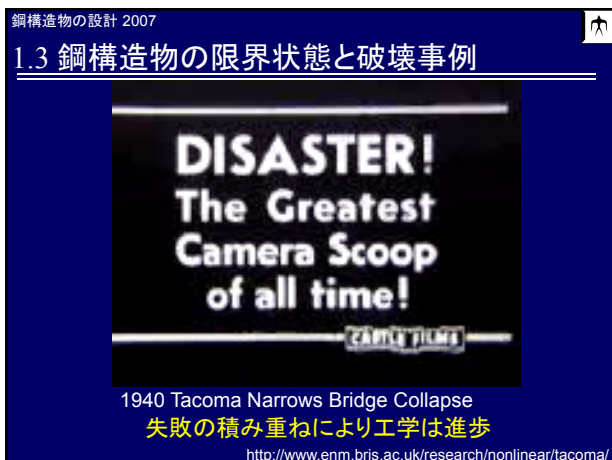
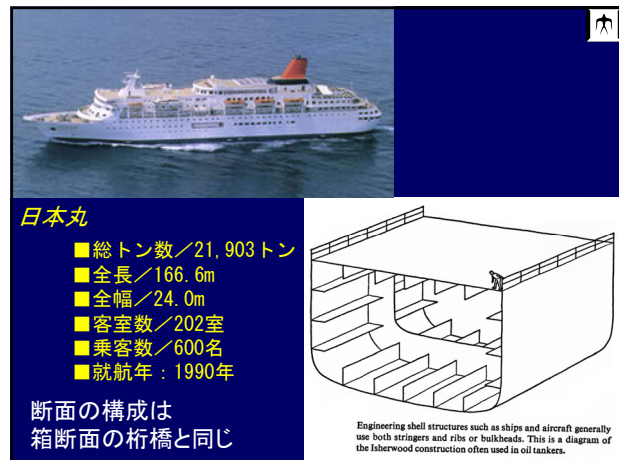
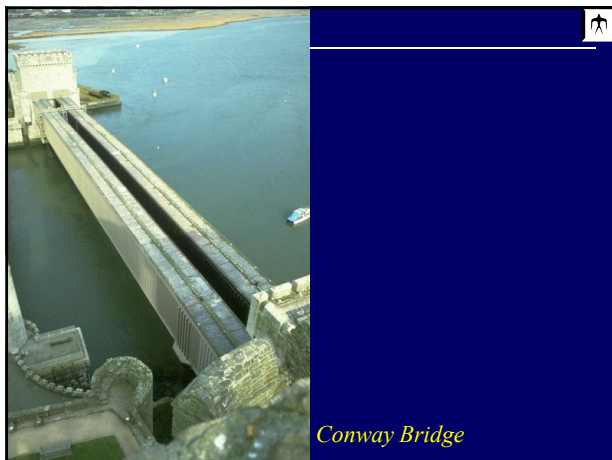
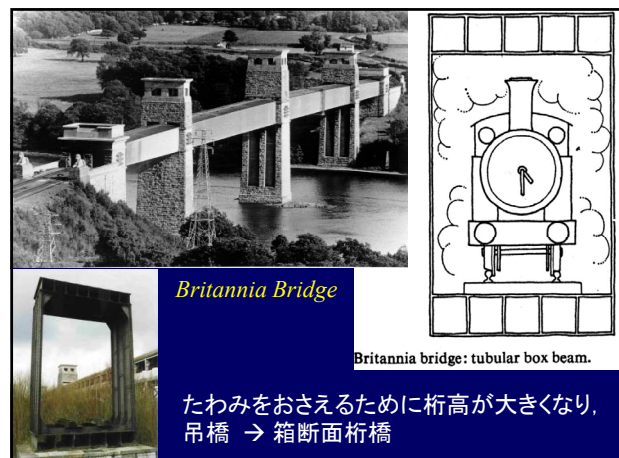
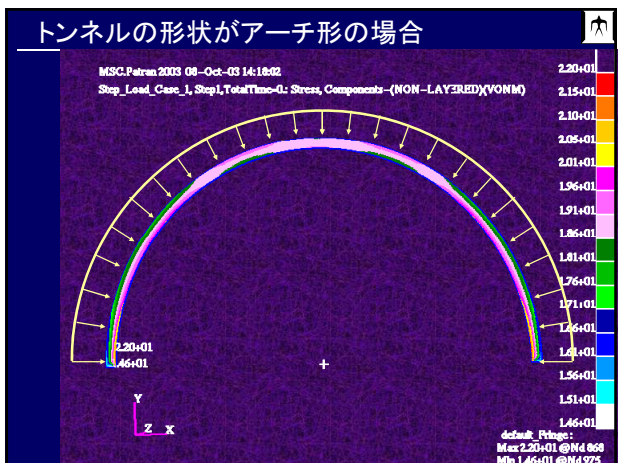
力学的に形状が決定される構造例(2)

Determination of Shapes of Structural Components Based on Mechanics

なぜアーチ形状?
車両の形に合せたら?

Tunnel



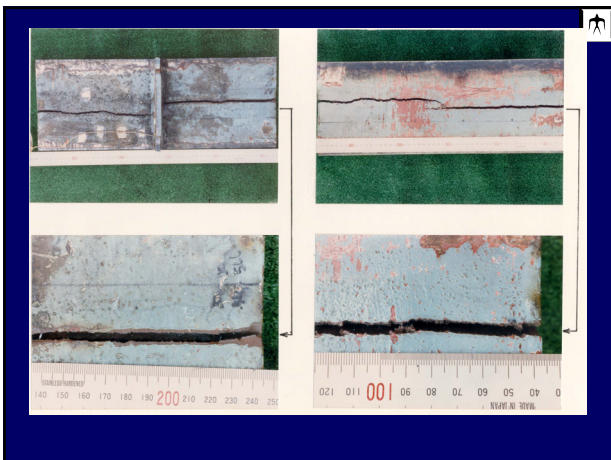


損傷事例と原因

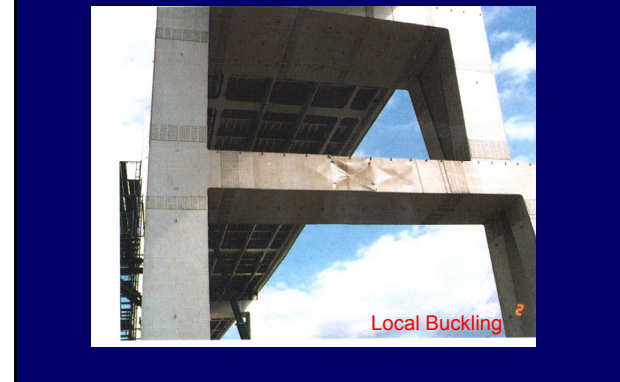
- ✚ Yielding
Material Properties
 - ✚ Structural Instability
Vibration induced by wind or pedestrian
Unexpected lateral movement during erection
Buckling
 - ✚ Fracture
Fatigue
Earthquakes

Fatigue and Fracture

Imperfect butt-welding of bottom flanges



Damage Cases in Hyogo-ken Nanbu Earthquake

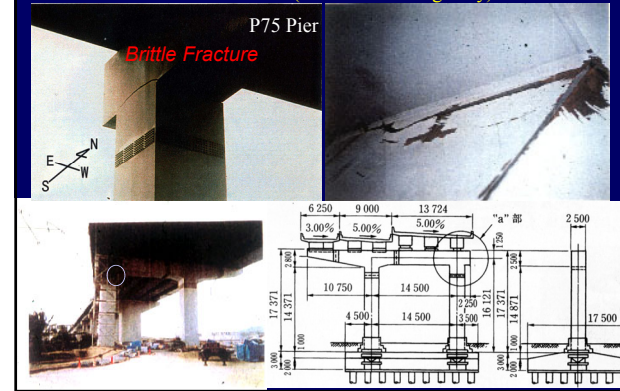


Damage Cases in Hyogo-ken Nanbu Earthquake



Damage Cases in Hyogo-ken Nanbu Earthquake

Beam-to-Column Connection (Kobe Harbor Highway)



Damage Cases in Hyogo-ken Nanbu Earthquake

3. Circular Pier

Local Buckling
Local Buckling and Crack

Material Tests

1. 橋の形式 Bridge Types

(1) 単純桁 Simply Supported flexural bridge

- 最も単純な形式
- 圧延部材, 圧延部材+カバープレート
- プレートガーダ, ボックスガーダ

(a) Simply supported flexural bridge

(2) カンチレバー桁 Cantilever flexural bridge

- 二径間以上, 主桁に回転自由なヒンジを入れ静定化

(b) Cantilever flexural bridge

(3) 連続桁 Continuous girder bridge

- 二径間以上, 不静定構造
- 剛性高い

1. 橋の形式 Bridge Types

(4) アーチ橋 Arch bridge

- 石造, コンクリート, 鋼
- アーチ部は圧縮力が支配的

(d) Three hinged arch.
(e) Two hinged arch.
(f) Fixed arch
(g) Tied arch (two hinged)

以上のほか、アーチ系の橋として
ランガー橋, ローゼ橋

1. 橋の形式 Bridge Types

(5) ラーメン橋 Rigid frame bridge

- 不静定次数の高い構造

(h) Two hinged rigid frame bridge
(i) Fixed rigid frame bridge

1. 橋の形式 Bridge Types

(6) 吊橋 Suspension bridge

- 長径間の橋
- ケーブルが最重要、桁はハンガーでケーブルに吊られている
- 無補剛(中, 小吊橋) 補剛

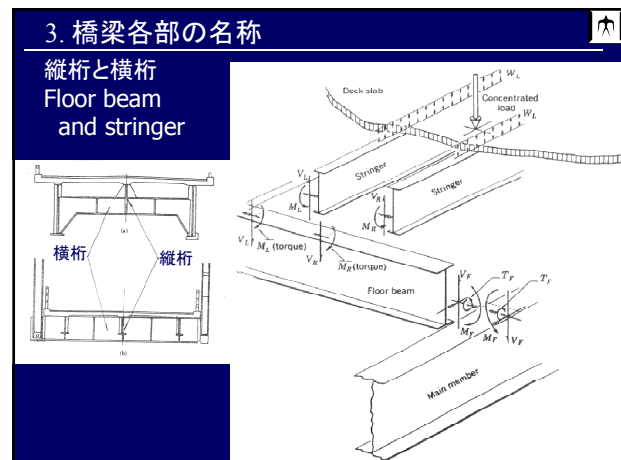
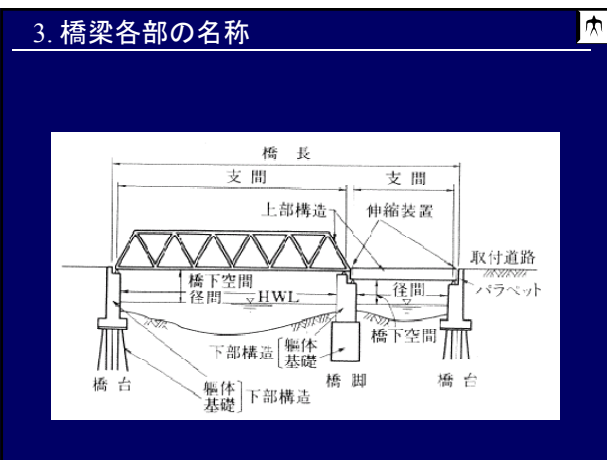
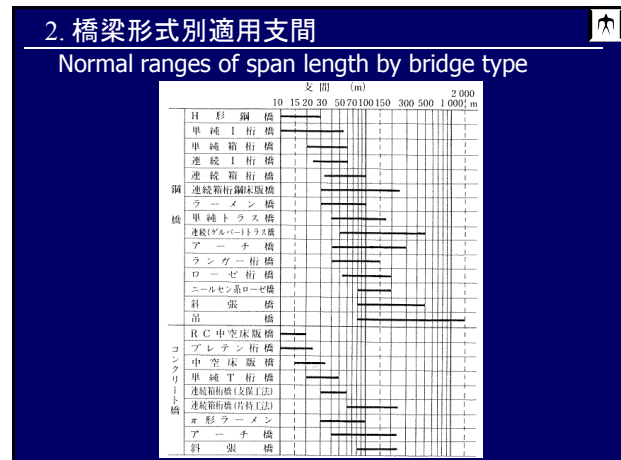
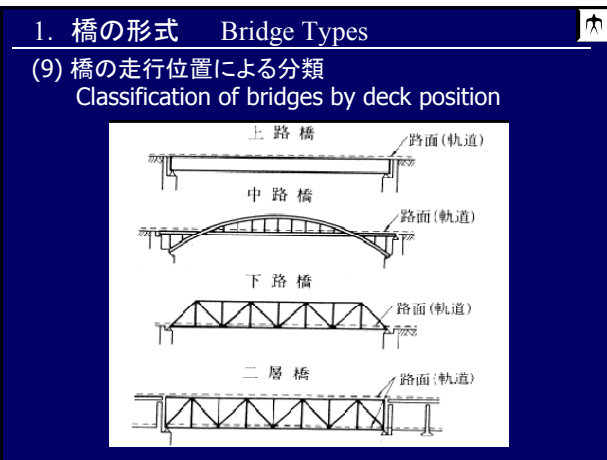
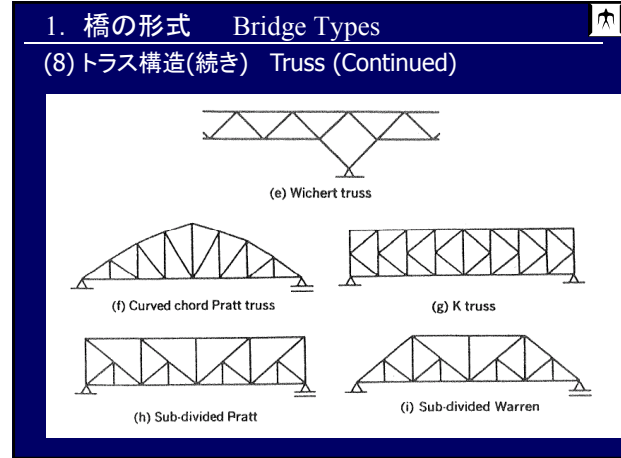
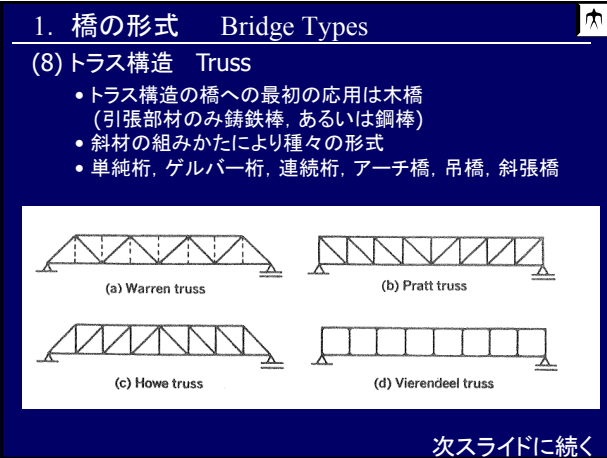
(j) Suspension bridge (earth anchored)
(k) Suspension bridge (self anchored)

1. 橋の形式 Bridge Types

(7) 斜張橋 Cable stayed bridge

- 新しい形式
- 桁をケーブルで支持

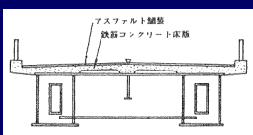
(l) Cable stayed bridge



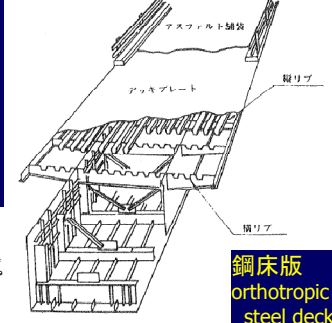
3. 橋梁各部の名称

床版の構造(箱桁の例)

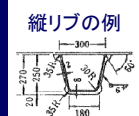
Orthotropic steel deck (Ex. of box girder)



鉄筋コンクリート床版
RC deck



鋼床版
orthotropic
steel deck



縦リブの例

鋼構造物の設計(4)

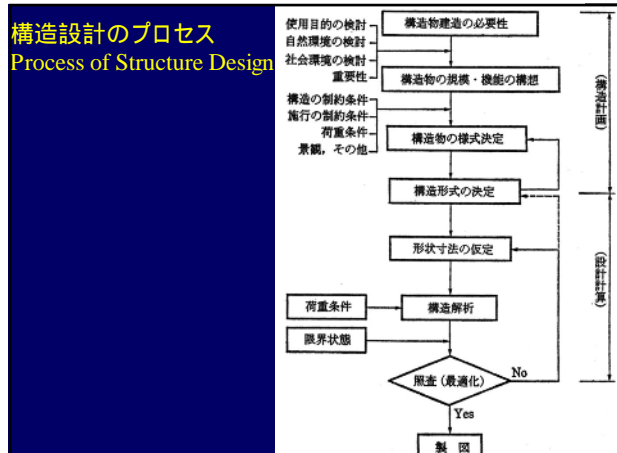
安全性の照査



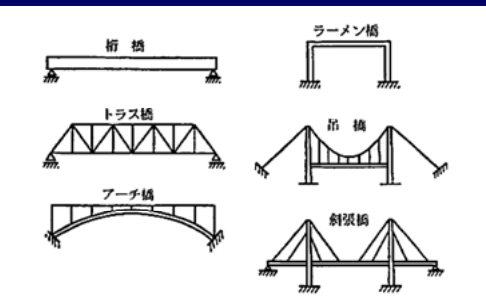
許容応力設計法
限界状態設計法



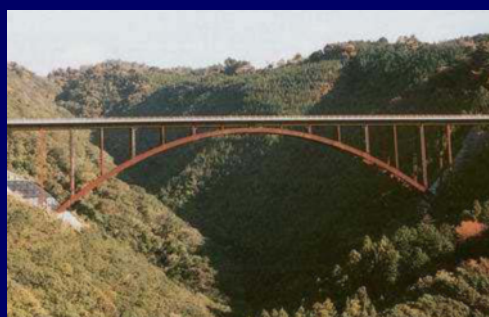
構造設計のプロセス Process of Structure Design



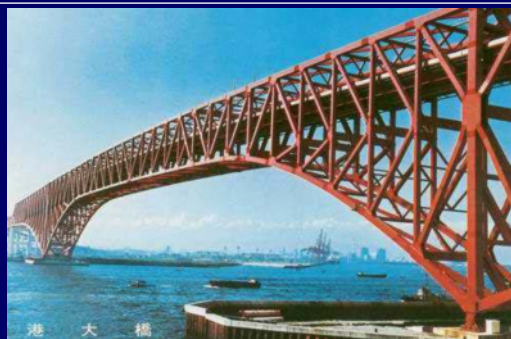
構造形式の決定(橋梁の例)



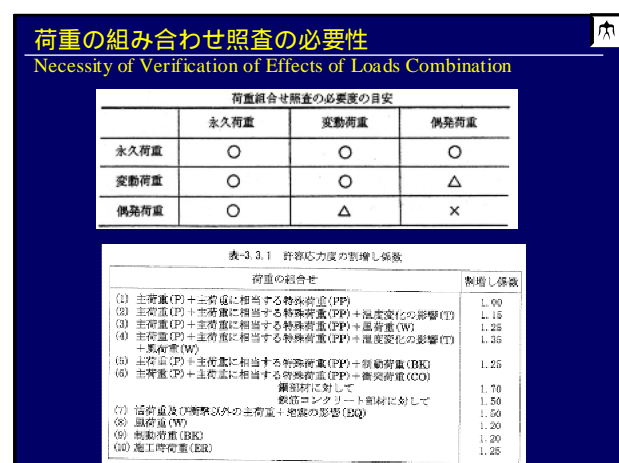
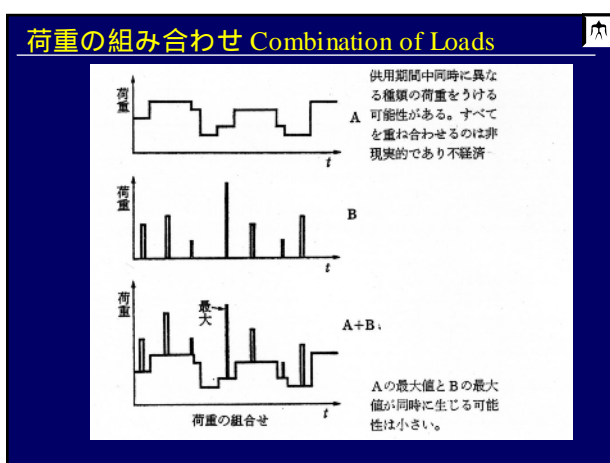
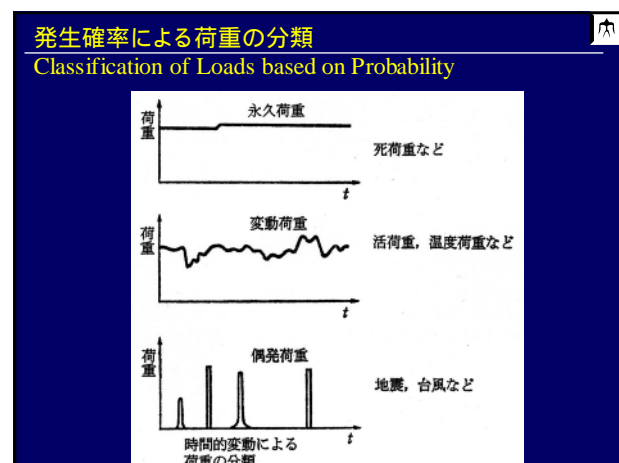
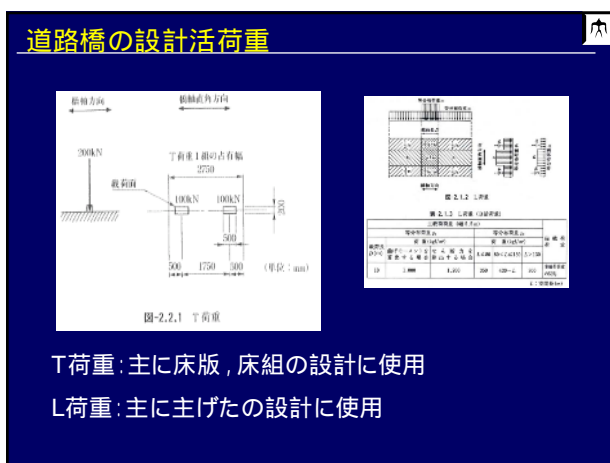
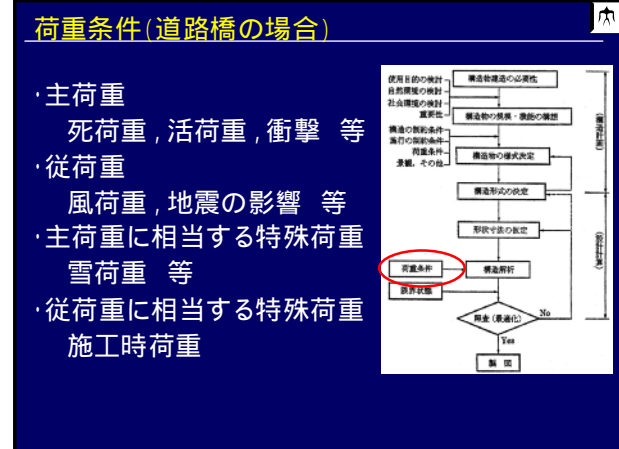
出典:「日本橋梁建設協会HP」

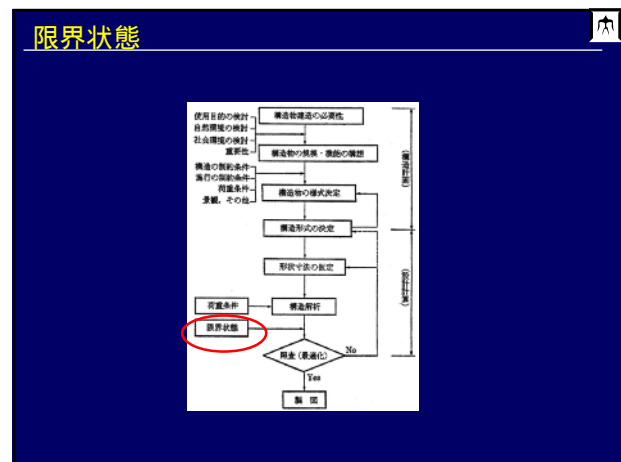
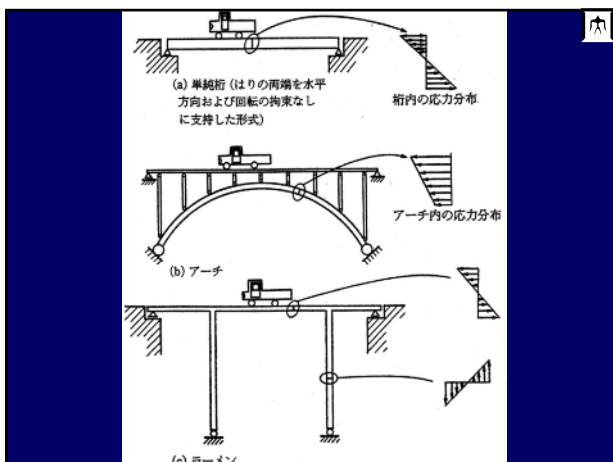
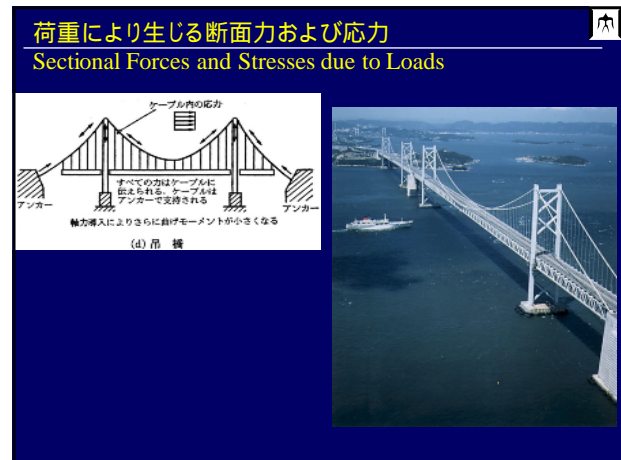
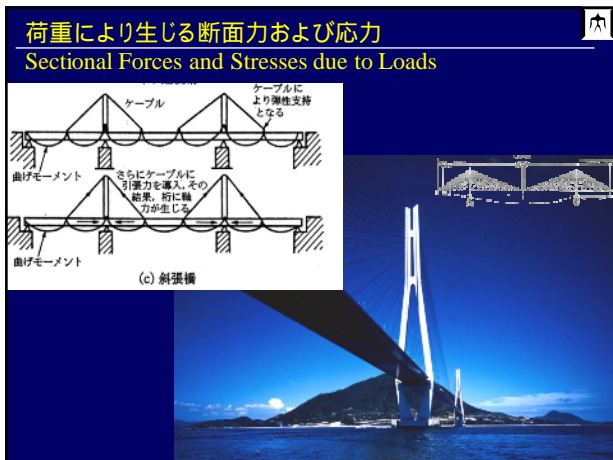
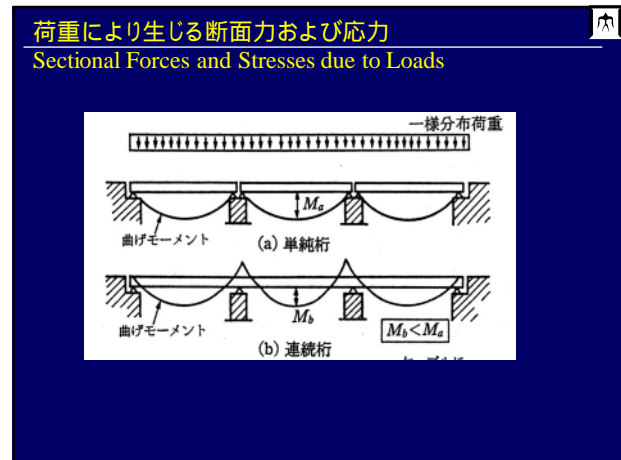
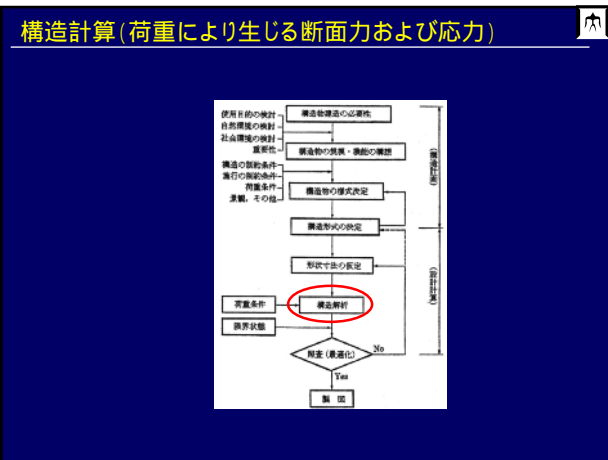


出典:「日本橋梁建設協会HP」



出典:「日本橋梁建設協会HP」





限界状態

鋼構造物の限界状態の例

(基準等によって定義が若干異なる場合がある)

- ・終局限界状態
- ・使用限界状態
- ・疲労限界状態
- ・(修復限界状態)

終局限界状態

構造物、部材の最大耐力を示す状態

(例)

- ・構造物が転倒、滑動などにより安定を失う
- ・脆性破壊や延性破壊などにより破断する
- ・座屈により耐力を失う

兵庫県南部地震による被害

出典：「阪神高速道路 資料」



腐食による鋼材の破断

出典：「国土交通省HP」



使用限界状態

構造物を十分安全に使用するために必要な
変形などの条件が満たされなくなる状態

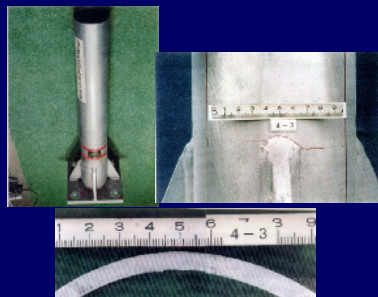
(例)

- ・正常な状態で使用するには変位が過大
- ・振動が過大で不安の念をいただきせる
(歩道の不快な振動)

疲労限界状態

交通荷重、波浪、風等の繰返し外力により疲
労亀裂が進展する状態
設計段階での照査に加えて、維持で最も重要
なチェック項目

疲労損傷の例



安全性の評価(照査)



安全性の評価(照査)

安全性の評価

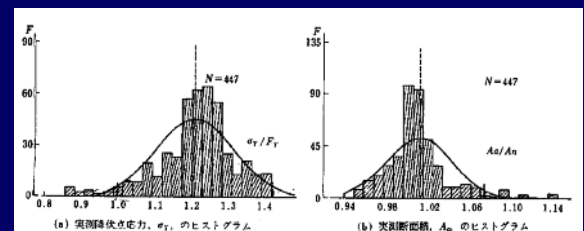
$$\text{外力作用(S)} < \text{抵抗(R)}$$

(抵抗の不確実さ)

- ・材料強度のばらつき、断面寸法の誤差 等
- (外力作用の不確実さ)
- ・多くの設計荷重は外力作用を単純化、モデル化したもの
- ・設計荷重以上の荷重が絶対に来ない保証はない

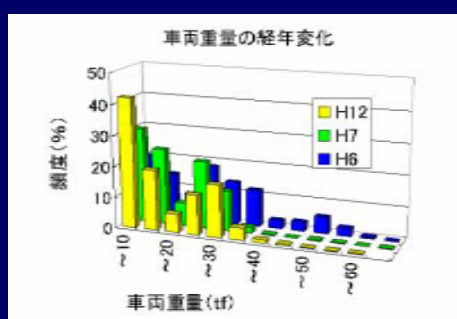
抵抗の不確実さの例

出典:「土木学会 座屈設計ガイドライン」



外力作用の不確実さの例(車両重量)

出典:「国土交通省 資料」

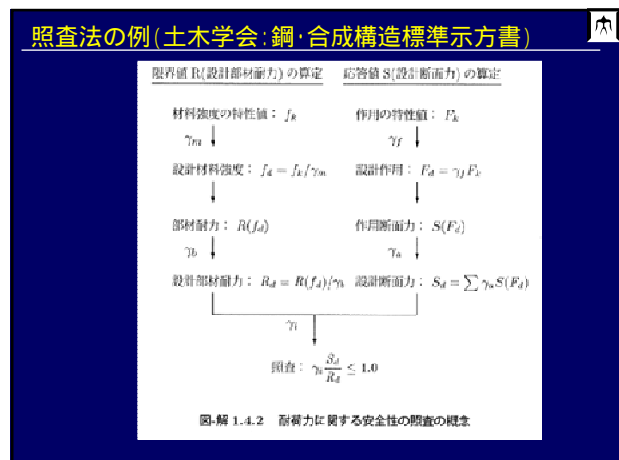
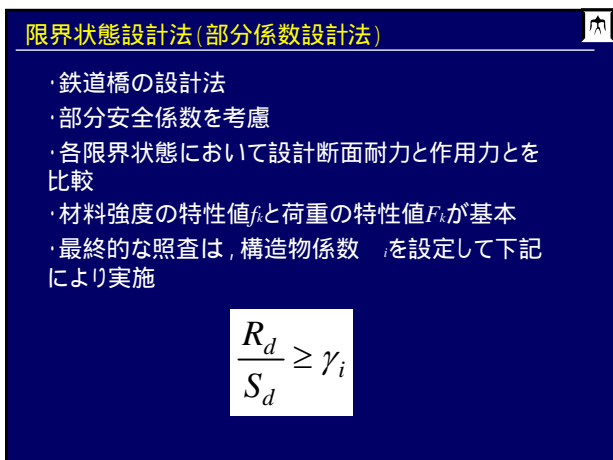
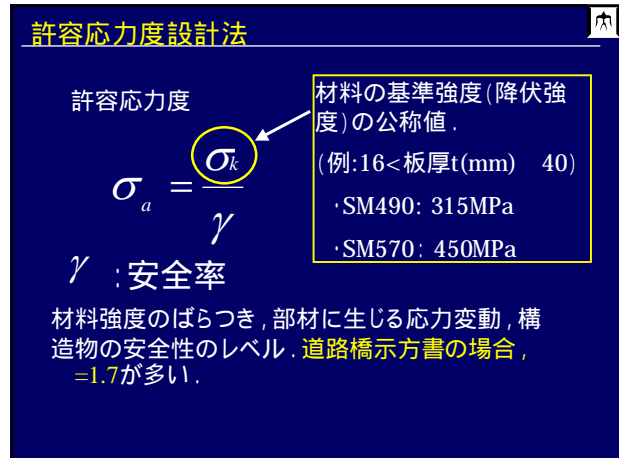
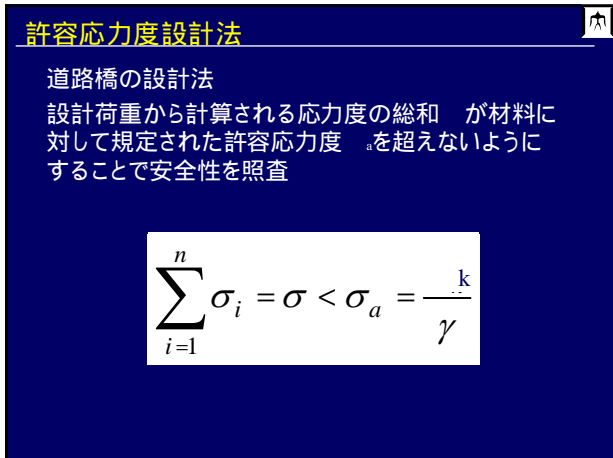
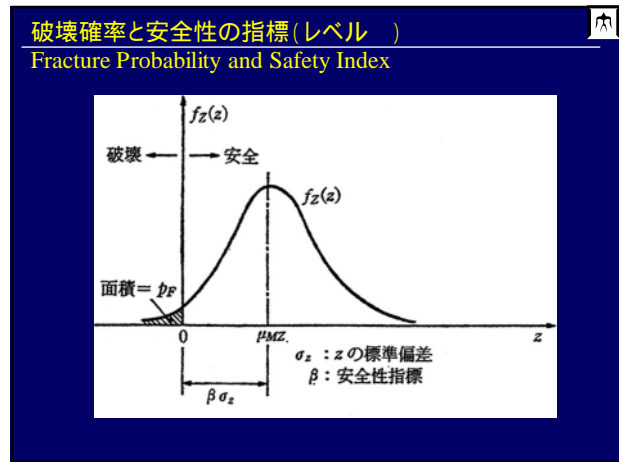
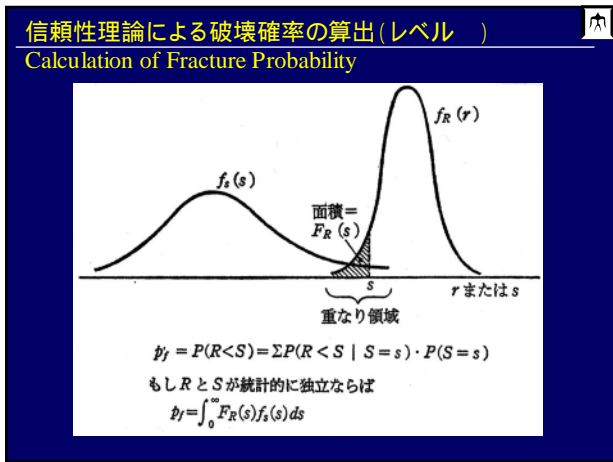


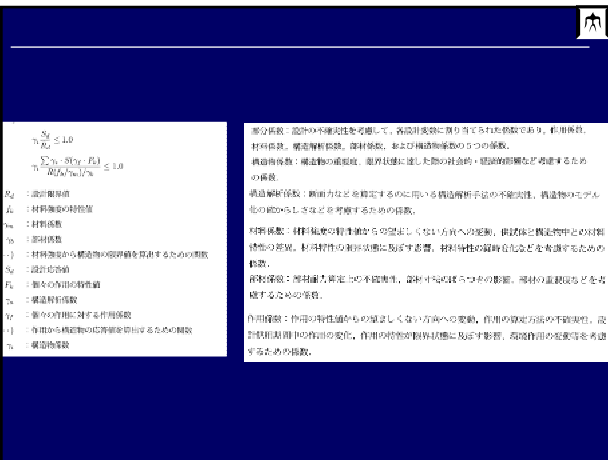
安全性評価に用いられる手法

許容応力度法

限界状態設計法

確立論に基づく信頼性理論





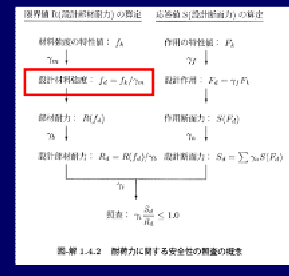
限界状態設計法

材料の特性値 f_k : 通常保証できる強度(降伏強度)の下限値(公称値)

$$f_d = \frac{f_k}{\gamma_m}$$

$$\gamma_m = 1.05$$

構造用鋼材の引張応力に対する材料係数(「鉄道構造物等設計標準・同解説 鋼・合成構造物」の場合)



鋼構造物の設計(5)

鉄と鋼
鋼材の力学的性質

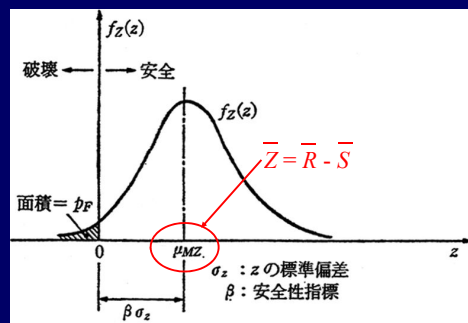
教科書第2章、3章
を精読すること



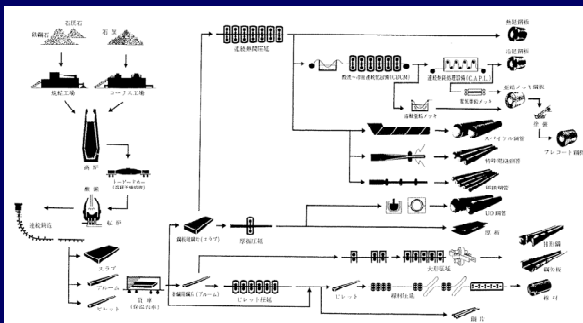
明石海峡大橋

破壊確率と安全性の指標(レベル II)

Fracture Probability and Safety Index



2.1 鋼の製造



教科書, p18, 図-2.1

2.2 組織と状態

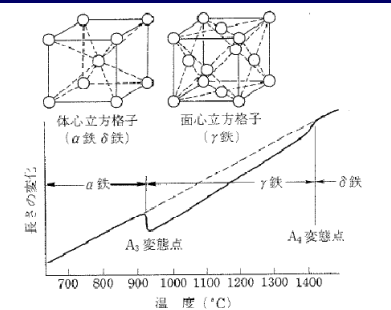


図 2.5 純鉄の膨張曲線と結晶格子の変化⁴⁾

教科書, p21, 図-2.5

2.3 添加元素、残留元素

表 2.1 添加元素の影響¹⁾

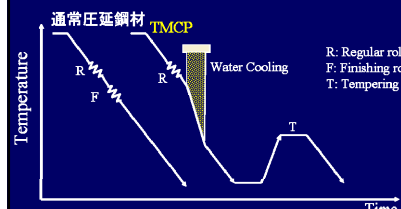
マンガン	Mn	強度、硬度が増し、伸び、絞りが減る。硫黄によるぜい化を防止する。
シリコン	Si	強度を高めるが、収度を超えるともろくなる。耐熱性を高める。
リン	P	もうろくな、耐食性を高める。偏析する傾向があり、注意を要する。溶接割れの原因。
硫黄	S	赤熱状態でもろくなる（赤熱ぜい性）。偏析する傾向がある。
アルミニウム	Al	脱酸および組織の微細化に効果。それにより強度特性向上。
ニッケル	Ni	鋼に粘り強さを与える。耐食性・耐熱性を大きくする。→ステンレス鋼。
クロム	Cr	Niと一緒に作用。→ステンレス鋼。
モリブデン	Mo	高温での強さを増す。
銅	Cu	大気中での耐食性を増す。→耐候性。引張強さ、硬さを高めるが、延性を損なう。
タンクステン	W	硬さ、耐摩耗性を向上。高温での強さを増す。

$$C_{eq} = C + \frac{Mn}{6} + \frac{Si}{24} + \frac{Ni}{40} + \frac{Cr}{5} + \frac{Mo}{4} + \frac{V}{14} \left(+ \frac{Cu}{13} \right) \quad (2.1)$$

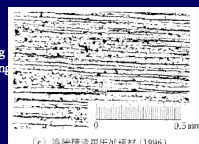
$$P_{eq} = C + \frac{Si}{30} + \frac{Mn}{20} + \frac{Cu}{20} + \frac{Ni}{60} + \frac{Cr}{20} + \frac{Mo}{15} + \frac{V}{10} + 5E \quad (2.2)$$

教科書, p22-23, 表-2.1, 式(2.1), (2. 2)

TMCP (Thermo Mechanical Control Process) Steel



低い炭素当量 優れた溶接性
Low Carbon Equivalent Superior Weldability



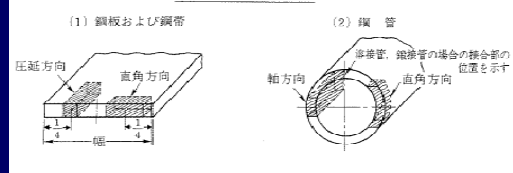
教科書, p25, 図-2.7

3.1 試験の規格

JIS

試験片の採取位置と
試験結果のばらつき、
信頼性

JIS G 0003 : 鋼材の検査通則
Z 2201 : 金属材料引張試験片
Z 2241 : 金属材料引張試験方法
Z 2203 : 金属材料衝撃試験片
Z 2212 : 金属材料衝撃試験方法
Z 2204 : 金属材料曲げ試験片
Z 2243 : アリネル硬さ試験方法
Z 2244 : ピッカース硬さ試験方法



教科書, p.27-28, 表, 図-3.1

3.2 破壊の様式

延性——脆性
粒界と粒内

延性破壊
脆性破壊
疲労
遅れ破壊
クリープ

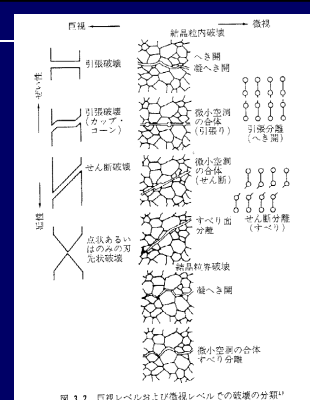
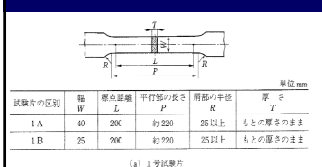


図 3.2 厚さレベルおよび応力レベルでの破壊の分類¹⁾

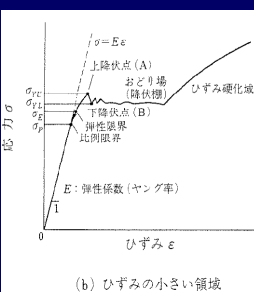
教科書, p29, 図-3.2

3.3 鋼材の引張特性

- 公称応力—公称ひずみ曲線
- 弾性係数、ヤング率
- 上降伏点と下降伏点



(a) 1号試験片

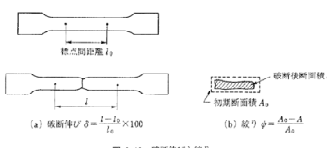


教科書, p31, 図-3.3

教科書, p32, 図-3.5

- 破断伸び
- 絞り

$$\delta = \left(\frac{l - l_0}{l_0} \right) \times 100 \quad (\%) \quad (3.17)$$



また、成断後の最小断面積から求められる絞り φ も伸び能力の尺度に用いられる。

$$\phi = \left(\frac{A - A_g}{A_0} \right) \times 100 \quad (\%) \quad (3.18)$$

教科書, p38, 式(3.17), (3.18)

- 降伏点が明確でない場合
- 除荷—再載荷

- くびれの発生と伸びの分布、
一様伸び

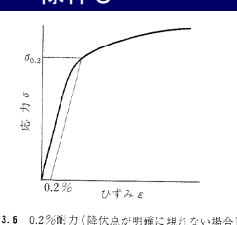
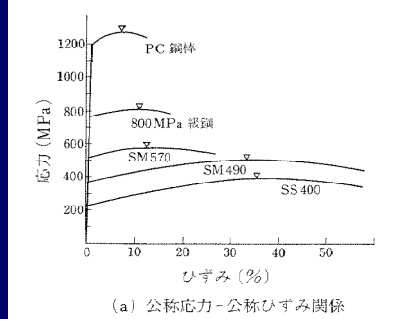


図 3.6 0.2%耐力(降伏点が明確に現れない場合)

教科書, p33, 図-3.6, 図-3.7



教科書, p32, 図-3.5

3.4 衝撃強さ

Charpy(シャルピー) 衝撃試験

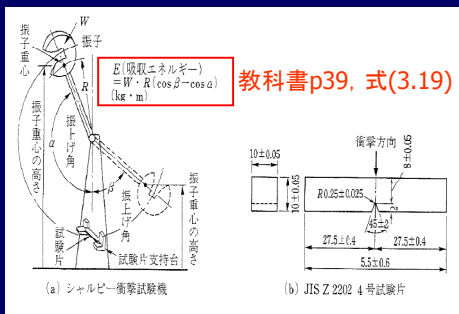


図 3.14 シャルピー衝撃試験

教科書, p39, 図-3.14

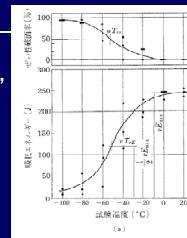
教科書 p39, 式(3.19)

$$E(\text{吸収エネルギー}) = W \cdot R (\cos \beta - \cos \alpha)$$

3.4 衝撃強さ

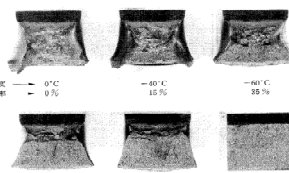
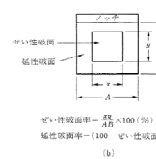
脆性破面率, 遷移温度

教科書, p40, 図-3.15



脆性破面率 = $\frac{A_d}{A_d + A_s} \times 100 (\%)$

遷移温度 = $(100 - \frac{1}{2} \times \text{塑性率})$ (°C)



試験温度 脆性破面率

第2次世界大戦中のアクシデント



戦時 Liberty 船、T-2Tanker の事故

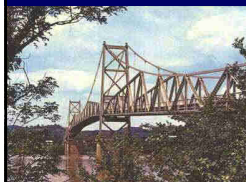
5000建造、

1946年までに1,000隻にかなりの亀裂
1942-1952年 200隻破壊の可能性

最低 9のT-2Tankers

7のLiberty船が破壊

Point-Pleasant Bridge

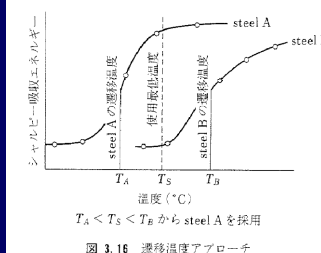


At 5:00 PM on December 15, 1967
Overload due to Christmas Rush
Brittle Fracture of Eye Bars



脆性破壊防止設計

- 15ftlb, 20ftlb, 25ftlb, 35ftlb
- 鋼材規格のA,B,C (シャルピー吸収エネルギーで規定)
- 遷移温度アプローチ



$T_A < T_S < T_B$ から steel A を採用

図 3.16 遷移温度アプローチ

教科書, p42, 図-3.16

(5) 疲労

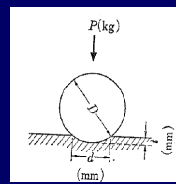
S-N線
Miner則と疲労被害度
Rain Flow法
疲労亀裂の進展
Paris Law

3.6 遅れ破壊

環境誘起破壊
(Environment Assist Cracking)
応力腐食割れ
(Stress Corrosion Cracking:SCC)
陽極溶解 (Anodic Dissolution)
水素脆化 (Hydrogen Embrittlement:HE)
金属内への水素の侵入と移動

3.7 硬さ

・代表的な試験法として、ビックアース硬さ試験、ブルネル硬さ試験、ロックウェル硬さ試験



とする。このときブリネルかたさ H_B は $P/(球と試験片の接触面積 [kg/mm^2])$ と定める。すなわち

$$H_B = 2P/\pi D(D - \sqrt{D^2 - d^2}) \quad (8-1)$$

あるいは

$$H_B = P/\pi D t \quad (8-2)$$

標準試験としては D が 10 mm, P が 3,000 kg を用いる。

出典:須藤一:材料試験法, 内田老鶴園

3.7 硬さ

溶接部(熱影響部)の最高高さと
溶接われの発生との関係

炭素量

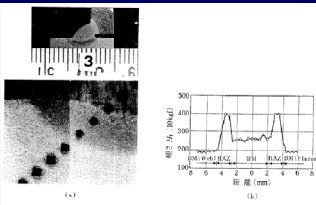


図 3.37 ビックアース硬度試験によくはみを測定用

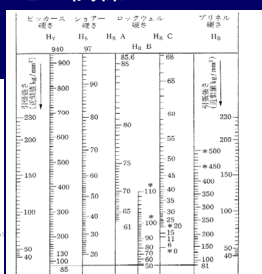


図 3.38 鋼のビックアース硬度に対する炭素的換算図表⁴⁾
(*図表中*のみ範囲内の数値はあり得ない)

教科書, p56, 図-3.37

教科書, p57, 図-3.38